



بررسی اثر بازتاب دیوارهای درونی مخزن فرابنفش بر غیرفعال‌سازی میکروارگانیزم موجود در آب با استفاده از دینامیک سیالات محاسباتی

قاسم حیدری‌نژاد^{*}، نسرین بزرگمهر، محمد صفرزاده

دانشکده مهندسی مکانیک، دانشگاه تربیت مدرس، تهران، ایران

تاریخچه داوری:

دریافت: ۱۳۹۷-۱۲-۱۲

بازنگری: ۱۳۹۸-۰۴-۱۳

پذیرش: ۱۳۹۸-۰۶-۱۱

ارائه آنلاین: ۱۳۹۸-۰۶-۲۵

كلمات کلیدی:

مخزن فرابنفش

دینامیک سیالات محاسباتی

مدل جهت‌های مجزا

بازتاب

میکروارگانیزم باسیلوس سابتیلیس

و ام.اس.دو

خلاصه: بازتاب پرتو فرابنفش از دیوارهای درونی، از مؤلفه‌های مؤثر بر افزایش کارآمدی مخازن فرابنفش، به شمار می‌آید. در این مطالعه، به ارزیابی میزان تأثیرگذاری مقادیر مختلفی از بازتاب دیوارهای درونی مخزن، بر عملکرد مخزن فرابنفش چندلامپی، با استفاده از شاخص‌هایی چون دوز دریافتی ذرات و مقادیر لگاریتم غیرفعال‌سازی میکروارگانیزم‌های ام.اس.دو و باسیلوس سابتیلیس، پرداخته شده است. شبیه‌سازی میدان جریان با استفاده از مدل کا-امگا-اس.تی صورت پذیرفته است و برای محاسبات میدان تابش، مدل جهت‌های مجزا در نظر گرفته شده است. مقادیر بازتاب دیواره در بازه‌ای از صفر (بدون بازتاب) تا صد (بازتاب ایده‌آل) درصد قرار داده شده است. در این گستره از بازتاب، برای دیواره مخزن با پوشش آلومینیوم، بازتاب $80/5$ درصد و برای دیواره فولادی، بازتاب $26/1$ درصد در نظر گرفته شد. میزان تأثیرگذاری بازتاب در دو مقدار ضریب گذردهی $78/7$ و $87/7$ درصد، محاسبه شد. برای ضریب گذردهی $78/5$ درصد، مقدار تغییر دوز دریافتی و مقادیر لگاریتم غیرفعال‌سازی با افزایش درصد بازتاب، بسیار اندک بود و روند محسوس افزایش این مقادیر برای ضریب گذردهی $87/7$ درصد، با افزایش درصد بازتاب، به چشم می‌خورد. روند تغییر نتایج مربوط به دو دبی متفاوت در ضریب گذردهی $78/5$ مشابه بود. نحوه عملکرد مخزن در دو توان متفاوت در ضریب گذردهی $78/5$ درصد بررسی شد که در توان بالاتر، میزان اثرگذاری روند افزایشی بازتاب، بیشتر مشاهده شد.

۱- مقدمه

با واکنش میان ضدغوفونی کننده‌ها با مواد آلی، به طور طبیعی در آب شکل می‌گیرند. این ترکیبات به عنوان آلاینده‌های سرطان‌زا شناخته شده‌اند و به همین دلیل مورد توجه قرار گرفته‌اند [۳-۵]. با این حال تابش فرابنفش به‌ویژه در محدوده طول موج‌های 100 تا 280 نانومتر، به عنوان یک جایگزین گندزدایی کارآمد به شمار می‌آید و می‌تواند باعث کاهش بار میکروبی موجود در یک دوره زمانی کوتاه باشد. بنابراین با کشف اثر بالای پرتو فرابنفش بر غیرفعال‌سازی پاتوژن‌های مقاوم، تمایل روزافزونی به استفاده از فناوری گندزدایی به کمک تابش فرابنفش ایجاد شد [۶-۸]. غیرفعال‌سازی میکروارگانیزم‌ها در مخازن ضدغوفونی فرابنفش به میزان انرژی فرابنفش دریافتی میکروارگانیزم در طی عبور در داخل مخزن فرابنفش بستگی دارد

روش‌های گوناگونی از قبیل روش‌های شیمیایی، فیزیکی و بیولوژیکی برای تصفیه آب وجود دارد. کلر به دلیل قابلیت دسترسی آسان، هزینه کم، ویژگی اکسیدکنندگی و پتانسیل حذف پاتوژن‌ها، به عنوان اصلی‌ترین این روش‌ها در فرآیند گندزدایی آب کاربرد دارد. با وجود استفاده گسترده کلر در تصفیه آب، عوارض ضدغوفونی و یا به عبارتی تولید فرآورده‌های جانبی را به دنبال دارد [۱ و ۲]. فرآورده‌های جانبی از جمله تری‌هالومتان‌ها^۱ و اسیدهای هالوستیک^۲،

¹ Trihalomethane

² Halocytic Acids

* نویسنده عهده‌دار مکاتبات: gheidari@modares.ac.ir



۶۵ تا ۹۹ درصد قرار داشت. آن‌ها نتیجه گرفتند که دیواره درونی مخزن با جنس آلومینیوم که دارای ضریب بازتابندگی $80/5$ است، به طور برجسته‌ای در بهبود عملکرد مخزن فرابینفس موثر واقع می‌شود. همچنین یکنواخت شدن میدان تابش به شدت به ویژگی بازتاب پخش دیواره بر می‌گردد که به توزیع بهتر تابش می‌انجامد.

لی و همکاران [۱۵]، در سال ۲۰۱۷، اثر بازتاب دیواره‌های درونی را روی عملکرد مخازن تکلامپی فرابینفس با تکیه بر نقش بازتاب پخش، با استفاده از دینامیک سیالات محاسباتی مطالعه نمودند. مدل کالیبره شده جهت‌های مجزا، میدان تابش فرابینفس درون مخزن را با دیواره‌های درونی بازتابند، محاسبه نمود. دیواره‌های درونی مخزن در دو حالت با بازتابندگی بالا و معمولی قرار داشت. نتایج این مطالعه نرخ تابش بیشتر، در حالت دیواره با بازتابندگی بالا نسبت به حالت دیواره با بازتابندگی معمولی را نشان داد.

با توجه به مرور مطالعات پیشین، افراد مختلف با تغییر هندسه سعی در بهبود عملکرد ضدغوفونی مخازن فرابینفس داشته‌اند اما می‌توان با اضافه کردن سطوحی با بازتابندگی مناسب روی دیواره‌های درونی مخزن، با هزینه‌ای کمتر کارایی ضدغوفونی میکروارگانیزم‌ها را افزایش داد. در پژوهش کنونی بررسی عملکرد مخزن فرابینفس جریان مقاطع چندلامپی، با هدف بررسی اثر بازتاب دیواره‌های درونی مخزن، در مقادیر صفر تا صد درصد بازتاب فرابینفس دیواره، مطالعه می‌شود.

در این مطالعه با به کاربردن مدل تابش جهت‌های مجزا، اثر بازتاب بر دوز دریافتی ذرات و مقادیر لگاریتم غیرفعال‌سازی دو میکروارگانیزم، در دو ضریب گذردگی مورد مطالعه قرار گرفته است. از جمله نکات برجسته این مقاله، نحوه اثربخشی بازتاب‌های مختلف دیواره، در توان لامپ و نرخ جریان مختلف می‌باشد تا به این ترتیب بتوان شناخت بهتری از تاثیر بازتاب بر عملکرد مخزن ضدغوفونی پیدا کرد. نکته دیگر در این مقاله، ارزیابی و مقایسه میزان تأثیرپذیری غیرفعال‌سازی میکروارگانیزم‌های باسیلوس سابتیلیس و فاز MS2، از بازتاب در شرایط گوناگون (دبی، توان لامپ و ضریب گذردگی) است.

۲- معادلات حاکم

چهار گام اساسی حل مسئله مورد مطالعه، شامل پیش‌بینی میدان سرعت، یافتن مسیر ذرات، شبیه‌سازی میدان تابش فرابینفس و ترکیب نتایج زمان ماند ذرات و شدت تابش در هر نقطه از میدان

که دوز فرابینفس^۱ نام دارد [۹]. شبیه‌سازی عددی فرآیند ضدغوفونی فرابینفس، در برگیرنده مدل‌های تشعشع برای یافتن توزیع میدان شدت تابش، مدل‌های آشفتگی برای پیش‌بینی میدان جریان و مدل‌های سینتیک غیرفعال‌سازی میکروبی برای نشان دادن پاسخ به تابش دریافتی میکروارگانیزم‌های هدف است [۱۰].

محاسبه میدان تابش یکی از گام‌های اساسی در میزان دوز دریافتی هر ذره است. در سال ۲۰۰۴، لیو و همکاران [۱۱] به ارزیابی هفت مدل محاسباتی برای شبیه‌سازی میدان تابش فرابینفس اطراف یک لامپ پرداخت. یافته‌های آن‌ها، نشان داد که مدل مجموع منابع قطعه‌ای چندگانه^۲ نسبت به سایر مدل‌های تابش دقیق‌تر است ولی هزینه محاسباتی بالایی دارد. همچنین تخمین بالا در نزدیک لامپ و تخمین پایین در نواحی دور از لامپ در مدل جهت‌های مجزا^۳ از دیگر نتایج لیو و همکاران است. این در حالی است که هو [۱۲] در سال ۲۰۰۹، بازتابش و شکست در دیواره‌های کوارتز و نیز اثر بازتابش از سطوح درونی مخزن فرابینفس را مورد بررسی قرار داد. در پژوهش عددی وی، مطالعه لیو و همکاران [۱۱] در سال ۲۰۰۴، با استفاده از مدل تابش جهت‌های مجزا و پرداختن به جزئیات بیشتر این مدل، توسعه داده شد. نتایج نشان دادند که صرف‌نظر کردن از بازتابش و اثر شکست در سطوح داخلی و خارجی منجر به افزایش تابش شبیه‌سازی شده در نزدیک لامپ و کاهش آن در نواحی دور از لامپ می‌شود.

علی‌رغم مطالعات نسبتاً گسترده در حوزه مخازن فرابینفس، کارهای محدودی در زمینه پرداختن به اثر بازتاب دیواره‌های درونی بر بهبود عملکرد مخازن فرابینفس صورت پذیرفته است. در سال ۲۰۱۱، چن و همکاران [۱۳]، با مدل بی-آل^۴-P اصلاح شده به حل میدان تابش در مخزن ضدغوفونی فرابینفس پرداختند. در این مطالعه، بازتاب از دیواره‌ها سبب افزایش توزیع نرخ تابش به ویژه در نواحی نزدیک دیواره شد و با افزایش ضریب گذردگی اثر بازتاب بر پارامترهای مذکور بیش‌تر دیده شد که اهمیت توجه به بازتاب در سطوح غیرفعال‌سازی بالاتر را نشان می‌دهد.

لی و همکاران [۱۴]، در سال ۲۰۱۲، پژوهش تجربی خود را با سه جنس گوناگون برای دیواره‌های مخزن فرابینفس انجام دادند. ضریب گذردگی فرابینفس آب در آزمایش‌های آن‌ها، در گسترهای از

¹ UV Dose

² Multiple Segment Source Summation (MSSS)

³ Discrete Ordinate (DOM)

⁴ P-1

مقادیر ضرایب σ_k , σ_ω , β^* , β , γ , F_1 , $\sigma_{\omega,2}$ موجود در روابط (۳) و (۴)، به صورت زیر است [۱۹].

$$\begin{aligned}\sigma_k &= F_1/\sigma_{k,1} + (1-F_1)/\sigma_{k,2}, \sigma_\omega = F_1/\sigma_{\omega,1} + (1-F_1)/\sigma_{\omega,2} \\ F_1 &= \tanh(\phi_1^4), \phi_1 = \min[\max(\frac{\sqrt{k}}{\beta^* \omega y}, \frac{500\mu}{\rho y^2 \omega}), \frac{4\rho k}{\sigma_{\omega,2} D_\omega^+ y^2}] \\ D_\omega^+ &= \max[2\rho \frac{1}{\sigma_{\omega,2}} \frac{1}{\omega} \frac{\partial k}{\partial x_j} \frac{\partial \omega}{\partial x_j}, 10^{-10}]\end{aligned}\quad (5)$$

$$\begin{aligned}\gamma_\infty &= F_1 \gamma_{\infty,1} + (1-F_1) \gamma_{\infty,2} \\ \gamma_{\infty,1} &= \frac{\beta_{i,1}}{\beta_\infty^*} - \frac{\kappa^2}{\sigma_{\omega,1} \sqrt{\beta_\infty^*}}, \gamma_{\infty,2} = \frac{\beta_{i,2}}{\beta_\infty^*} - \frac{\kappa^2}{\sigma_{\omega,2} \sqrt{\beta_\infty^*}} \\ \beta_i &= F_1 \beta_{i,1} + (1-F_1) \beta_{i,2} \\ \sigma_{k,1} &= 1.176, \quad \sigma_{\omega,1} = 2.0, \quad \sigma_{k,2} = 1.0, \quad \sigma_{\omega,2} = 1.168, \\ a_1 &= 0.31 \\ \beta_{i,1} &= 0.075, \quad \kappa = 0.41, \quad \beta^* = 0.09, \quad \beta_{i,2} = 0.0828\end{aligned}$$

نکته‌ای که در توضیح دلیل استفاده از مدل آشفتگی کا-امگا اس.تی در این مقاله باید متذکر شد، این است که محاسبه دقیق تر میدان تابش به ویژه در نزدیک دیواره لامپ‌ها، نیازمند ایجاد سلول‌های محاسباتی ریزتر است. ریزشدن شبکه نزدیک دیواره، $\gamma +$ نخستین سلول محاسباتی را طوری تغییر می‌دهد که شبکه به دست آمده، مناسب مدل‌هایی مانند کا-امگا اس.تی است. این مسئله دلیلی شد بر شبیه‌سازی میدان جریان با مدل‌های آشفتگی رینولدز متوسط و مقایسه نتایج با داده‌های تجربی ولز، که در نهایت نتایج مدل کا-امگا اس.تی مطابقت بیشتری با داده‌های تجربی نشان داد. در ضمن این مدل در مطالعات پیشین از جمله کار لیو و همکاران [۱۰] موفق عمل نموده است.

در این مطالعه، از مدل جهت‌های مجزا برای محاسبات میدان تابش استفاده شده است [۲۰-۲۲]. این مدل، معادله انتقال تابش^۳ را در هر حجم کنترل برای تعداد متناهی از زاویه‌های فضایی برای تابش غیرخاکستری حل می‌شود [۲۳]. در این پژوهش از لامپ فشار پایین استفاده شده است که این نوع لامپ به گسیل تابش تکرنگ با طول موج تقریباً ۲۵۴ نانومتر می‌انجامد [۲۴]. در واقع میکروارگانیزم‌ها در این طول موج بیشترین میزان جذب تابش فرابنفش را دارند [۲۵]. با

حل با هدف محاسبه دوز دریافتی ذرات میکروارگانیزم است. در پایان، دوز محاسبه شده، برای یافتن لگاریتم غیرفعال‌سازی به عنوان شاخص عملکرد راکتور، به کار می‌رود که برای این منظور از مدل‌های سینتیک غیرفعال‌سازی هر یک از میکروارگانیزم‌های هدف، استفاده می‌شود. بنابراین، در این بخش به شرح مختصر معادلات حاکم در هر گام، پرداخته می‌شود.

معادله پیوستگی و بقای مومنتوم، معادلات حاکم بر حرکت سیال هستند که با فرض تراکم‌ناپذیری سیال، همدماهی (دماهی حدود ۲۰ درجه سلسیوس در میدان حل) و ویژگی‌های فیزیکی ثابت برای سیال، در شرایط پایا حل می‌شوند [۱۶ و ۱۷]. با توجه به سرعت‌های جریان ورودی، اعداد رینولدز در بازه‌ای از ۷۰۰۰ تا ۱۴۰۰۰ قرار دارد که به ایجاد جریان آشفته می‌انجامد. برای شبیه‌سازی جریان آشفته از مدل آشفتگی کا-امگا اس.تی^۱ استفاده می‌شود [۱۸]. روابط زیرکه شامل معادله پیوستگی، بقای مومنتوم، k و ω است، برای شبیه‌سازی میدان جریان استفاده می‌شود:

$$\frac{\partial \bar{u}_i}{\partial x_i} = 0 \quad (1)$$

$$\frac{\partial \bar{u}_i}{\partial t} + \bar{u}_j \frac{\partial \bar{u}_i}{\partial x_j} = -\frac{1}{\rho} \frac{\partial P}{\partial x_i} + \frac{\partial}{\partial x_j} \left[(\nu + \nu_t) \frac{\partial \bar{u}_i}{\partial x_j} \right] \quad (2)$$

$$\frac{\partial k}{\partial t} + \bar{u}_j \frac{\partial k}{\partial x_j} = \frac{\partial}{\partial x_j} \left[(\nu + \sigma_k \nu_t) \frac{\partial k}{\partial x_j} \right] + p_k - \beta^* k \omega \quad (3)$$

$$\begin{aligned}\frac{\partial \omega}{\partial t} + \bar{u}_j \frac{\partial \omega}{\partial x_j} &= \frac{\gamma P_k}{\rho \nu_t} - \beta \omega^2 + \frac{\partial}{\partial x_j} \left[(\nu + \sigma_\omega \nu_t) \frac{\partial \omega}{\partial x_j} \right] \\ &+ 2(1-F_1) \sigma_{\omega,2} \frac{1}{\omega} \frac{\partial k}{\partial x_j} \frac{\partial \omega}{\partial x_j}\end{aligned}\quad (4)$$

در روابط (۱) تا (۴)، ρ چگالی سیال، x_i ($i = 1, 2, 3$) مختصات دکارتی، \bar{u}_i اجزای دکارتی سرعت میانگین، P فشار استاتیکی، ν لزجت سینماتیکی، ν_t لزجت سینماتیکی آشفتگی، k انرژی جنبشی توربولانسی به ازای واحد جرم، p_k تولید انرژی جنبشی آشفتگی به سبب گرادیان سرعت متوسط و ω نرخ مشخصه اضمحلال^۲ است.

¹ $k-\omega$ SST

² Specific Rate of Dissipation

جدول ۱. توابع پاسخ به دوز به کار رفته
Table 1. Applied dose response functions

$N/N_0 = 10^{(-k_1 D + k_2)}$ $k_1 = 0.064 \text{ cm}^2/\text{mJ.Sec}$, $k_2 = 0.361$	مدل چیک-واتسون [۱۰] (MS2)
$N/N_0 = (1 - (1 - 10^{-k_1 D})^{10k_2})$ $k_1 = 0.063 \text{ cm}^2/\text{mJ.Sec}$, $k_2 = 0.49$	مدل به کاربرده شده ولز [۳۲] (باسیلوس سابتیلیس)

جريان متاثر از تغییر قطر در بازه ۵/۰ تا ۱۰ میکرون و تغییر شکل ذرات میکروارگانیزم نیست و در نتیجه، میزان دوز فرابینفش دریافتی ذرات، دچار تغییر محسوس نمی‌شود. همین امر سبب شد که همه ذرات میکروارگانیزم، کروی و با قطر یک میکرون به ورودی مخزن تزریق شوند.

به دلیل نزدیک بودن چگالی آب و ذرات میکروارگانیزم، از نیروی جرم مجازی و گرادیان فشار نمی‌توان صرفنظر نمود. نیروی پسا از دیگر نیروهای وارد بر ذرات است [۲۱، ۲۹]. به دلیل این که چگالی ذرات بسیار نزدیک به چگالی آب در نظر گرفته شده است [۱۷]، نیروی شناوری ناچیز در نظر گرفته می‌شود. با توجه به این که جريان فاز پیوسته آشفته فرض می‌شود، پخش براونی در مقایسه با پخش آشفته ناچیز است. بنابراین می‌توان نیروی براونی را در معادله نهایی در نظر نگرفت [۲۹].

تابع غیرفعال‌سازی پاسخ به دوز با توجه به نوع میکروارگانیزم متفاوت است. در این پژوهش، برای فاز MS2، رابطه پاسخ به دوز موسوم به مدل چیک-واتسون است که در مطالعه لیو و همکاران استفاده شده است [۱۰]. مدل استفاده شده برای بررسی پاسخ به دوز هاگ‌های باسیلوس سابتیلیس، همان مدل مورد استفاده در کار ولز است [۳۲]. روابط این مدل‌ها در جدول ۱ قابل مشاهده است. با استفاده از تابع تعریف شده کاربر^۱ نوشته شده و به کار بردن آن در نرمافزار فلوئنت، دوز دریافتی هر ذره با استفاده از انتگرال زمانی شدت تابش مطابق رابطه (۹) محاسبه شد [۳۳].

$$D = \int I dt \quad (9)$$

بنابراین با یافتن توزیع دوز ذرات و با به کار بردن رابطه (۱۰)، غیرفعال‌سازی کلی میکروبی حاصل می‌گردد [۱۰].

صرفنظر نمودن از پراکندگی تابش ذرات معلق، معادله انتقال تابش به صورت زیر ساده می‌شود [۲۳]:

$$\nabla \cdot (I(\vec{r}, \vec{s}) \vec{s} + aI(\vec{r}, \vec{s})) = 0 \quad (6)$$

که I شدت تابش، \vec{r} بردار مکان، \vec{s} بردار جهت و a ضریب جذب است.

مقدار بازتاب دیوارهای مخزن از رابطه (۷) محاسبه می‌شود [۱۵].

$$R = 1 - \epsilon \quad (7)$$

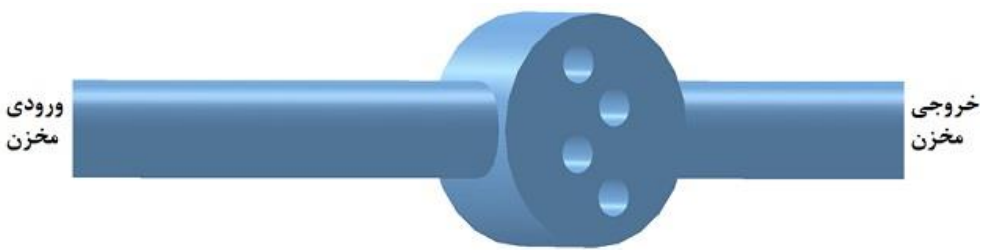
ϵ ضریب گسیل درونی مربوط به دیواره و R ضریب بازتاب در سطح است.

بیر-لامبرت ارتباط ضریب گذردهی فرابینفش و ضریب جذب آب را طبق رابطه (۸) بیان می‌کند [۲۶].

$$UVT = e^{-ax} \quad (8)$$

a ضریب جذب، x فاصله بین دو نقطه در ماده (به ازای یک سانتی‌متر) و UVT ضریب گذردهی فرابینفش است.

به دلیل گستته بودن فاز ذرات، دیدگاه لاغرانژی برای مسیریابی ذرات استفاده شد [۲۷ و ۲۸]. از این‌رو بعد از به دست آمدن سرعت از حل میدان جريان و با درنظر گرفتن تعادل نیروهای وارد بر تک‌تک ذرات، سرعت و مسیر حرکت هر یک از ذرات به دست می‌آید [۲۱]. ذرات میکروارگانیزم باسیلوس سابتیلیس و باکتریوفاز MS2 به عنوان میکروارگانیزم‌های هدف در نظر گرفته شدند. نسبت حجمی ذرات، با توجه به قطر میکروارگانیزم‌های هدف، دارای مقدار بسیار کوچک‌تری از یک است. بنابراین می‌توان از اثر ذرات بر یکدیگر و نیز بر میدان جريان چشم‌پوشی کرد [۲۹]. همچنان براساس پژوهش خو و همکاران [۳۰]، اندرکنش ذره بر ذره دیگر و ذره بر میدان



شکل ۱. هندسه مخزن فرابنفش
Fig. 1. Geometry of the UV reactor

جدول ۲. مشخصات میکروارگانیزم‌های تزریق شده به مخزن در دیدگاه لاغرانژی [۳۰ و ۱۷]

Table 2. Characteristics of microorganisms injected into the reactor in Lagrangian approach [30 ,17]

مدل غیرفعال‌سازی	شكل ذره	دما (کلوین)	تعداد ذرات تزریق شده	چگالی (kg / m ³)	قطر (μm)	میکروارگانیزم هدف
چیک-واتسون	کروی	۲۹۳/۱۵	۵۰۰۰	۱۰۰۰	۱	MS2 فائز
مدل ولز	کروی	۲۹۳/۱۵	۵۰۰۰	۱۰۰۰	۱	باسیلوس سابتیلیس

در این مطالعه، شبکه‌بندی مدل هندسی با استفاده از نرم‌افزار مشذب انسیس^۱ انجام پذیرفت. این شبکه‌بندی در لوله‌های ورودی و خروجی به صورت سازمان‌یافته^۲ و در بخش اصلی مخزن به علت پیچیدگی هندسه، شبکه‌ای بدون ساختار ایجاد شد. مدل آشفتگی به کاربرده شده، نیاز به $+u$ کمتر از یک در نواحی نزدیک دیواره‌ها، دارد؛ بنابراین در مرزها (مانند نزدیک دیواره‌ها و پوشش کوارتز)، شبکه‌بندی لایه‌مرزی در نظر گرفته شد.

برای شبیه‌سازی میدان جریان، میدان تابش و مسیر حرکت میکروارگانیزم‌ها از بسته تجاری انسیس فلوبت^۳ بهره گرفته شد. تقریب بالادست مرتبه اول برای گسسته‌سازی ترم‌های جابه‌جایی استفاده شد. در همه حالات از الگوریتم سیمپل^۴، برای ترکیب سرعت و فشار، استفاده شد [۳۴]. شرط مرزی ورودی سرعت یکنواخت به ازای دو دیجی $4/9$ و $2/5$ متر مکعب بر ساعت (اعداد رینولدز ۷۰۰۰ و ۱۴۰۰۰) و در خروجی مخزن شرط مرزی فشار در نظر گرفته شد. شرط عدم لغزش برای همه دیواره‌ها (مانند دیواره‌های مخزن

$$\frac{N}{N_0} = \int_0^{\infty} f(D) E(D) dD \quad (10)$$

که در این رابطه، D دوز ذرات بر حسب میلی‌ژول بر سانتی‌متر مربع، $E(D)$ تابع غیرفعال‌سازی پاسخ دوز، N/N_0 نسبت تعداد میکروارگانیزم‌های زنده در خروجی مخزن به تعداد میکروارگانیزم‌های اولیه و $f(D)$ کسر تعداد ذرات را نشان می‌دهد.

۳- روند شبیه‌سازی

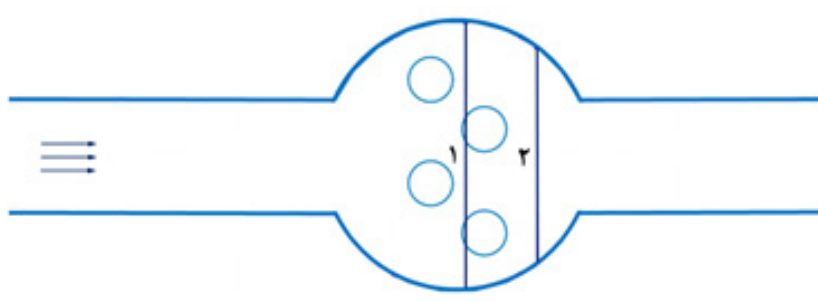
مدل هندسه مورد استفاده در این مطالعه، مخزن فرابنفش جریان متقاطع است که در شکل ۱ نشان داده شده است. قطر لوله ورودی مخزن $۱/۲۵$ متر و به منظور دست‌یابی به جریان کاملاً توسعه‌یافته آشفته، طول آن ۵۰ برابر قطر، در نظر گرفته شده است. قطر لوله خروجی نیز، $۱/۲۵$ متر است و طولی معادل ۱ متر دارد. بخش اصلی مخزن، یک استوانه با قطر $۰/۳$ متر و طول $۰/۱۵$ متر، دارای چهار لوله استوانه‌ای از جنس کوارتز (پوشش لامپ‌های فرابنفش)، عمود بر جریان مخزن است که قطر هر یک از لوله‌های کوارتز، $۰/۰۴۷۸$ متر است.

1 Ansys Meshing

2 Structured

3 Ansys Fluent

4 SIMPLE



شکل ۲. خطوط به کار برده شده در محاسبه سرعت
Fig. 2. Lines used in the velocity calculation

آشфтگی بر ذرات مدل تصادفی واک^۲ به کار گرفته شد [۳۵]. جدول ۲، مشخصات دو نوع از میکروارگانیزم‌های ورودی به مخزن را نشان می‌دهد.

همان‌طور که پیش از این ذکر شد، در گام نخست، میدان سرعت و در گام دوم مسیر ذرات میکروارگانیزم متأثر از میدان جریان آب، به دست می‌آید. در گام سوم، با حل معادله (۵)، شدت تابش در هر سلول محاسباتی حاصل می‌شود. با ترکیب نتایج مربوط به مسیر ذرات و شدت تابش با استفاده از رابطه (۸)، میزان دوز دریافتی هر ذره در طول مسیر حرکت، محاسبه می‌شود. در واقع محاسبه دوز به عنوان گام چهارم فرآیند حل مسئله، با نوشتن کد در نرمافزار فلوئنت صورت گرفته است. لازم به ذکر است که به منظور محاسبه دوز دریافتی ذرات در کد تعریف شده کاربر، طبق رابطه (۹)، انتگرال‌گیری به صورت ذوزنقه‌ای انجام شده است. در پایان، با استفاده از دوز دریافتی هر ذره در طی مسیر و همچنین به کار بردن مدل‌های سینتیک غیرفعال‌سازی میکروارگانیزم هدف در رابطه (۱۰) و لگاریتم‌گیری از مقدار به دست‌آمده از این رابطه، لگاریتم غیرفعال‌سازی محاسبه می‌شود.

۴- نتایج

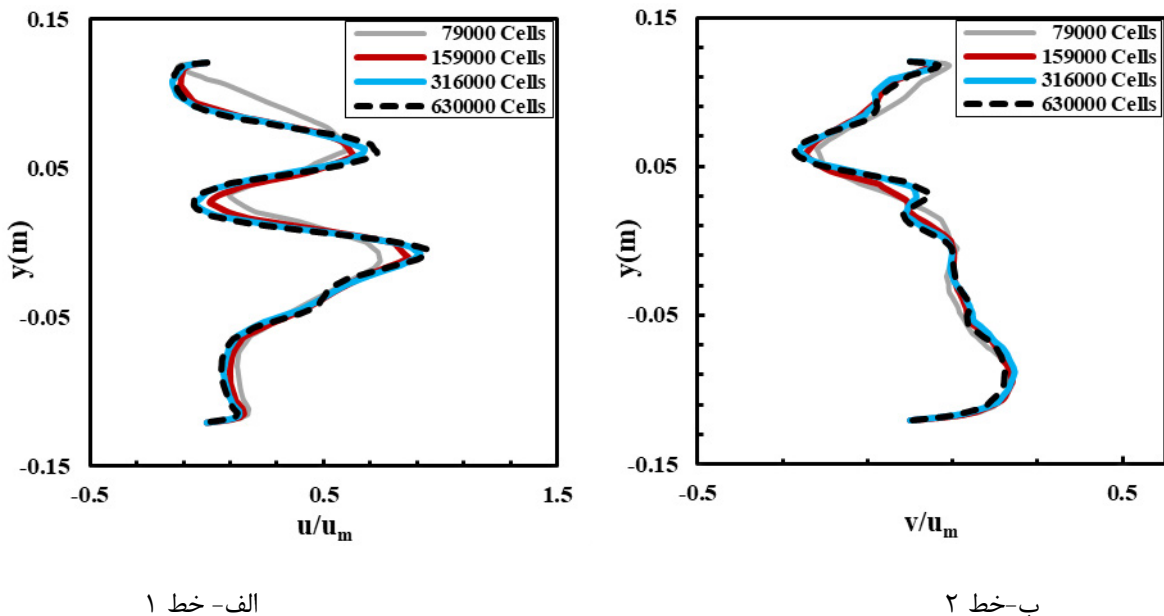
۴-۱- استقلال از شبکه

مطالعه استقلال حل میدان جریان از شبکه محاسباتی در مقاطع شماره ۲ نمایش داده شده در شکل ۲، که عمود بر مسیر جریان بر روی صفحه مرکزی مخزن قرار دارد، برای سرعت محوری و عمودی (سرعت‌های بی بعد شده با سرعت میانگین در لوله) انجام شده است.

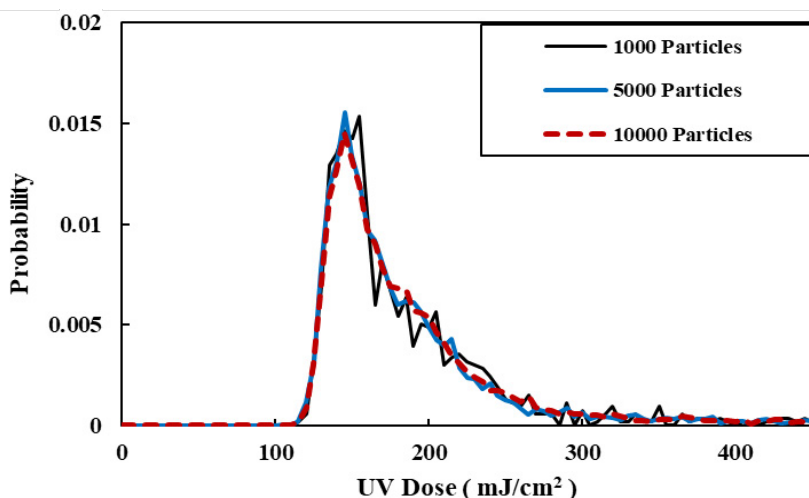
و لامپ‌ها) قرار داده شد. شدت آشфтگی جریان کاملاً توسعه یافته درون لوله تقریباً برابر $Re^{-\frac{1}{8}} / ۱۶$ است، با توجه به محدوده عدد رینولدز جریان داخل لوله، این مقدار برای مدل مورد بررسی ۵ درصد در نظر گرفته شد. معیار همگرایی برای معادلات پیوستگی، مومنتوم و آشفتگی، مقدار باقیمانده کمتر از 10^{-5} است.

برای حل معادله انتقال تابش به کمک مدل جهت‌های مجزا، نیاز به گسسته‌سازی فضای زاویه‌ای است که در این مطالعه، هریک از زوایای قطبی و سمتی که برای یک‌هشتمن فضای زاویه‌ای در نظر گرفته می‌شود، در هفت جهت گسسته شد. تعداد پیکسل‌های هر زاویه کنترل نیز پنج قرار داده شد. دو نوع لامپ در این مطالعه استفاده شده است که توان UVC کل مخزن برای یکی $۳/۹$ وات و برای دیگری $۴/۶$ وات است. سطح هریک از لامپ‌ها به عنوان جسم نیمه‌شفاف و سطوح دیگر مانند دیوارهای مخزن فرابینفش مات در نظر گرفته شد. شدت تابش در سطح هر لامپ، برای لامپ نوع اول $۳/۵$ وات بر مترمربع و برای لامپ نوع دوم، $۵/۲$ وات بر مترمربع است. برای سطوح مات، با توجه به مقادیر متفاوت برای بازتاب، مقادیر ضریب گسیل درونی در بازه‌ای از ۰ تا ۱ متغیر است. در هر دو سطح نیمه‌شفاف و مات، مقدار ضریب بازتاب پخش، ۱ قرار داده شد. ضریب گذردهی فرابینفش در این پژوهش $۸/۷$ و $۷/۸$ درصد مطابق با آزمایش ولز در نظر گرفته شد. معیار همگرایی برای معادله تابش، مقدار باقیمانده کمتر از 10^{-6} است.

حدود $۵/۰۰۰$ هزار ذره از ورودی مخزن به درون جریان تزریق شد و شرط مرزی بازتابش در دیوارهای در نظر گرفته شد. شرط مرزی خروجی برای ذرات، اسکیپ^۱ قرار داده شد. به منظور اعمال اثر



شکل ۳. میدان سرعت عمودی و محوری در چهار شبکه‌بندی گوناگون
Fig. 3. Axial and vertical velocity field in four different grids

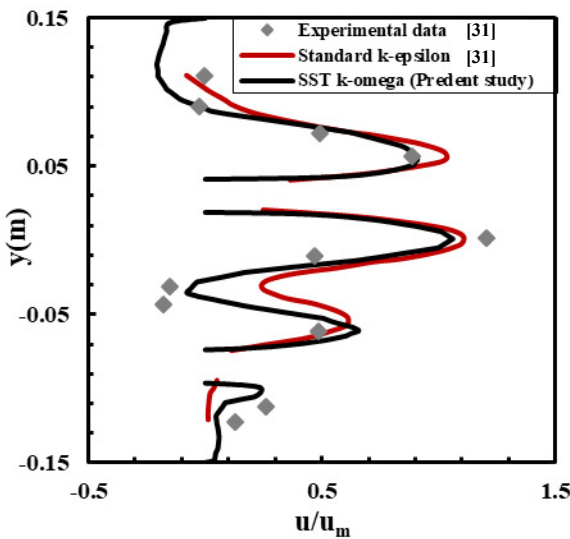


شکل ۴. توزیع دوز دریافتی ذرات در سه حالت از تعداد ذرات تجزیق شده
Fig. 4. Particles received dose distribution in three states of number of injected particles

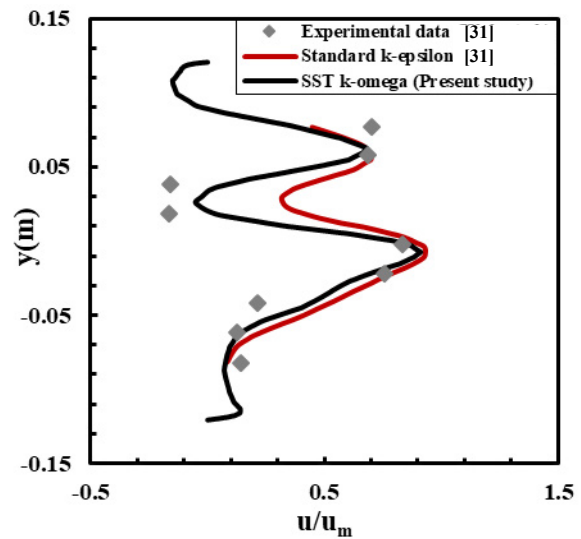
و ۳۱۶ هزار سلول قابل چشم پوشی نباشد. از این رو برای کمینه نمودن اختلاف در نتایج به دست آمده در شبکه‌بندی‌های موجود، شبکه‌بندی حالت ۶۳۰ هزار سلول مد نظر قرار گرفت که با مقایسه سرعت محوری و عمودی، اختلاف بسیار ناچیز در نتایج سرعت حالت ۳۱۶ هزار و ۶۳۰ هزار سلول، مشاهده شد. بنابراین شبکه‌بندی حالت ۳۱۶ هزار سلول، به دلیل نزدیکی مطلوب نتایج به شبکه‌بندی حالت ۶۳۰ هزار سلول و نیز کاهش هزینه محاسباتی، شبکه‌بندی مناسب برای

در شکل ۳، اختلاف سرعت محوری و عمودی در شبکه‌بندی حالت ۷۹ و ۱۵۹ هزار، به ویژه در نقاطی نزدیک دیواره بالایی روی خط واقع در میدان حل، به خوبی نمایان است.

با وجود افزایش تعداد سلول‌های محاسباتی و دستیابی به شبکه‌بندی حالت ۳۱۶ هزار سلول، اختلاف سرعت محوری آن نسبت به شبکه‌بندی حالت پیشین به وضوح دیده می‌شود و همین موضوع سبب می‌شود که اختلاف نتایج در شبکه‌بندی حالت ۱۵۹ هزار سلول



الف- خط ۱



ب- خط ۲

شکل ۵. سرعت محوری داده‌های تجربی و عددی ولز و نتایج عددی کنونی

Fig. 5. Axial velocity of Wols's experimental and numerical data and current numerical results

دیواره، جریان برگشتی (سرعت منفی) را پیش‌بینی نموده است که به دلیل عدم وجود داده اندازه‌گیری شده در این ناحیه، امکان اظهار نظر درباره صحت پیش‌بینی وجود ندارد. همان‌طور که انتظار می‌رفت در بخش‌های میان لامپ‌ها در مقطع ۱، نواحی پرسرعت دیده می‌شود که مدل عددی حاضر به خوبی توانسته است بر داده‌های تجربی منطبق گردد.

در بخشی از مقطع ۱، مطابق با اندازه‌گیری‌های تجربی، جریان برگشتی مشاهده می‌شود و پیش‌بینی کنونی تا حدود نسبتاً مطلوبی توانسته است به این اندازه‌گیری‌ها نزدیک گردد، در حالی که در مدل عددی پیشین انحراف بسیار زیادی از داده‌های تجربی در پیش‌بینی جریان برگشتی دیده می‌شود. در مقطع ۱، در بخش پایینی در نزدیک دیواره مخزن، محاسبه سرعت محوری در مدل عددی کنونی نسبت به مدل ولز بهتر انجام شده است.

مدل حاضر، سرعت محوری در قسمت بالایی مقطع ۲ در نزدیک دیواره را برگشتی محاسبه نموده است. در ناحیه مرکزی جریان مدل کنونی و نیز مدل عددی ولز به خوبی با نتایج تجربی مطابقت دارد ولی همچنان قسمتی از جریان که جریان برگشتی را تجربه می‌کند، نتوانسته با مدل ولز محاسبه گردد و در مدل حاضر گرچه انحراف از داده‌های تجربی دیده می‌شود، ولی در پیش‌بینی جریان برگشتی این

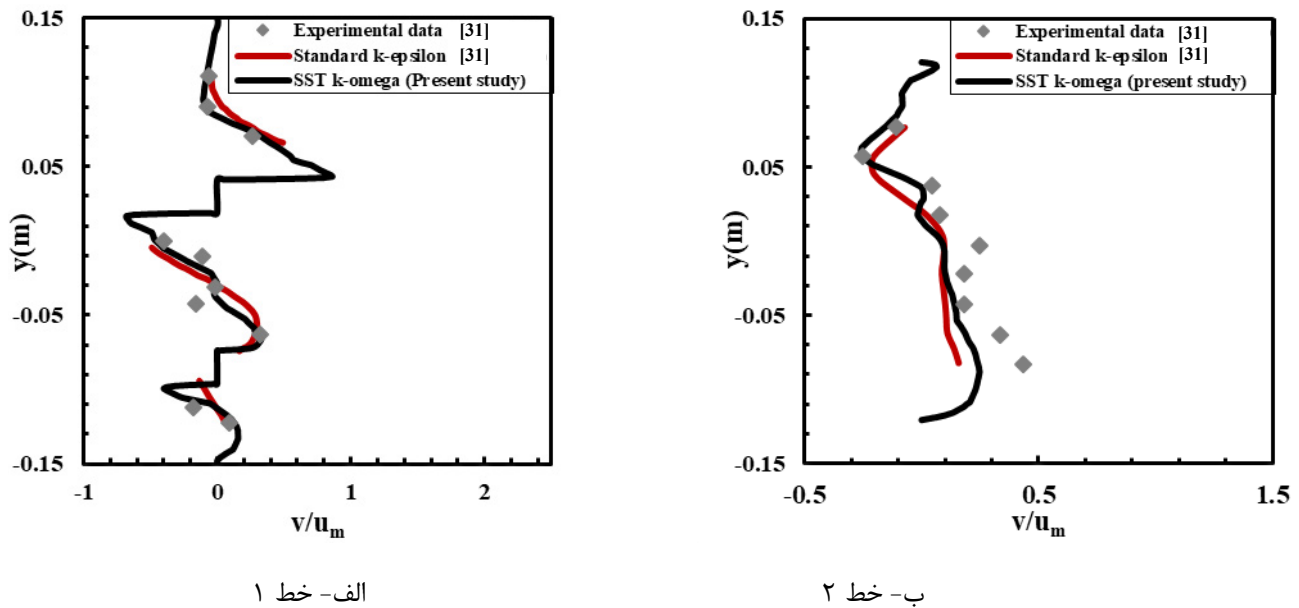
ادامه محاسبات در نظر گرفته شد.

۴-۱- استقلال از تعداد ذرات

بررسی استقلال شبکه از تعداد ذرات، با هدف رسیدن به دقت مطلوب و کاهش هزینه محاسباتی، با استفاده از تزریق ۱ هزار، ۵ هزار و ۱۰ هزار ذره در شبکه‌بندی ۳۱۶ هزار سلول، انجام پذیرفت. بررسی استقلال از تعداد ذرات برای منحنی توزیع دوز دریافتی ذرات مطابق با شکل ۴، انجام شد. منحنی توزیع دوز در حالت تزریق هزار ذره نسبت به ۵ هزار ذره دارای اختلاف است. با افزایش ذرات تزریق شده به ۱۰ هزار و مقایسه با منحنی توزیع دوز ۵ هزار ذره، اختلاف اندکی در دو منحنی مشاهده گردید که تعداد ۵ هزار ذره به عنوان ذرات تزریق شده در ورودی مخزن انتخاب گردید.

۴-۲- راستی آزمایی

در شکل‌های ۵ و ۶، در دو مقطع میانی مخزن فرابنفش که در شکل ۲ مشخص شده است، به مقایسه سرعت محوری و عمودی بی‌بعد (بی‌بعد شده با سرعت میانگین در لوله) به دست آمده از مدل آشفتگی کنونی، داده‌های اندازه‌گیری و مدل عددی ولز [۳۲]، پرداخته شده است. مدل آشفتگی کنونی، در قسمت بالایی مقطع ۱ در نزدیک



شکل ۶. سرعت عمودی داده‌های تجربی و عددی ولز و نتایج عددی کنونی

Fig. 6. Vertical velocity of Wols's experimental and numerical data and current numerical results

از مدل عددی ولز، در محدوده دوز پایین، مدل تابش به کار برده شده در مطالعه حاضر (مدل جهت‌های مجزا) و مطالعه عددی ولز (مدل مجموع منابع قطعه‌ای چندگانه) است. در حقیقت در مدل تابشی کنونی، صرف‌نظر کردن از اعمال شکست پرتو فراینفس در عبور از سطح مشترک هوا-کوارتز و کوارتز-آب و همچنین بازتاب از سطح کوارتز، منجر به افزایش کمینه دوز دریافتی در این پژوهش نسبت به نتایج عددی ولز شده است.

انحراف نتایج عددی حاضر از داده‌های تجربی در ضریب گذردهی ۷۸/۵ درصد (شکل ۷ الف) نسبت به این نتایج در ضریب گذردهی ۸۷/۷ درصد (شکل ۷ ب)، به طور مطلوبی کاهش می‌یابد، به طوری که منحنی توزیع دوز به دست آمده از مدل آشفتگی کنونی نسبت به مدل عددی ولز از انطباق بهتری با داده‌های تجربی، برخوردار است و با این نتایج دقت مناسب مدل جهت‌های مجزا در ضرایب گذردهی پایین مورد تأیید واقع می‌گردد.

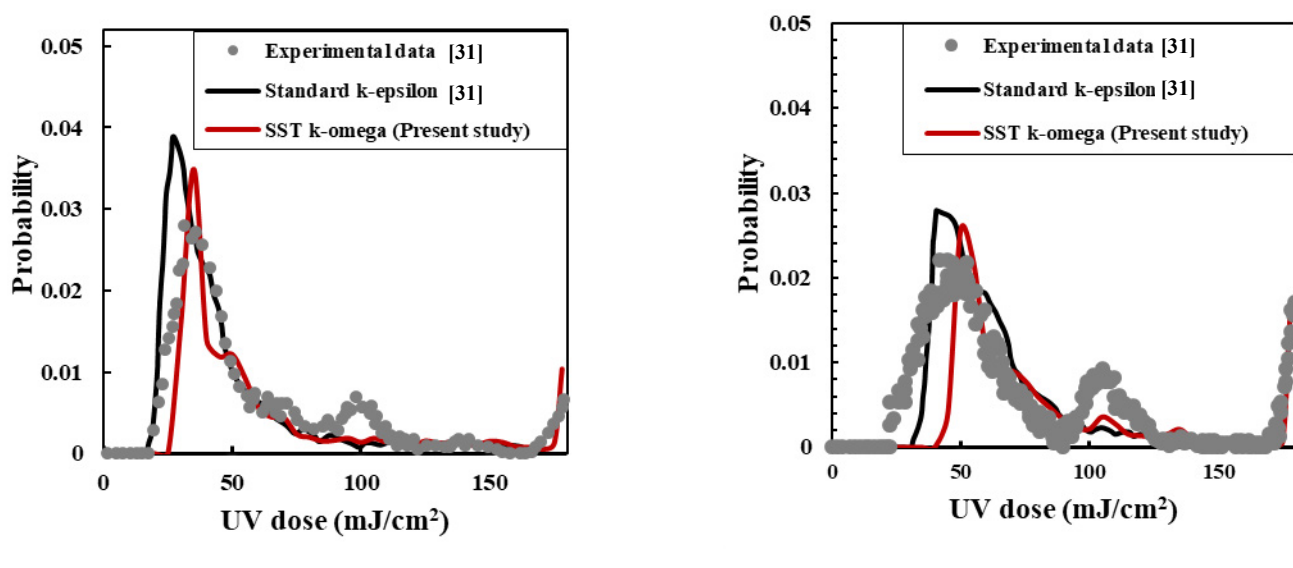
آن‌چه در همه منحنی‌های توزیع دوز دیده می‌شود، قرار داشتن شمار زیادی از ذرات میکرووارگانیزم در محدوده دوز پایین است که نشان‌دهنده عبور این ذرات از بخش پرسرعت بین لامپ‌ها است. در مجموع، حضور شمار کمتری از ذرات، در بازه‌ای از دوز بالا، از گیر افتادن ذرات در نواحی چرخشی میدان جریان حکایت دارد. مدل

ناحیه توانمند ظاهر شده است.

مدل کنونی، سرعت عمودی مقطع ۱ را در نزدیک دیواره بالای مخزن جریان رو به پایین (سرعت عمودی منفی) محاسبه نموده است. در نواحی میانی جریان که محل جریان اصلی است، علی‌رغم پیش‌بینی ضعیف سرعت عمودی، محاسبات انجام شده به نحو بسیار مطلوبی به داده‌های اندازه‌گیری شده ولز نزدیک است. قسمت بالایی در مقطع ۲ نشان‌دهنده حرکت جریان به سمت پایین است و در انتهای مخزن جریانی بالارونده مشاهده می‌شود.

در شکل‌های ۷ الف و ب، مقایسه توزیع دوز دریافتی ذرات که با استفاده از مدل آشفتگی کا-امگا اس.اس.تی محاسبه شده است با داده‌های به دست آمده از آزمایش پرتونگاری لاغرانژی^۱ و بررسی عددی ولز [۳۲]، در مقادیر ضریب گذردهی فراینفس ۸۷/۷ و ۷۸/۵ درصد، قابل مشاهده است. تفاوت میان دیدگاه‌های مدل‌سازی در محدوده دوز پایین محسوس است، با این حال روند کلی توزیع دوز دریافتی محاسبه شده در مدل آشفتگی مورد مطالعه با داده‌های تجربی و نتایج عددی ولز مشابه است. از آن جا که میدان جریان پیش‌بینی شده کنونی به اندازه‌گیری‌های تجربی ولز، با دقت بسیار بالایی نزدیک است، منشأ انحراف منحنی توزیع دوز مدل‌های کنونی

^۱ Lagrangian Actinometry

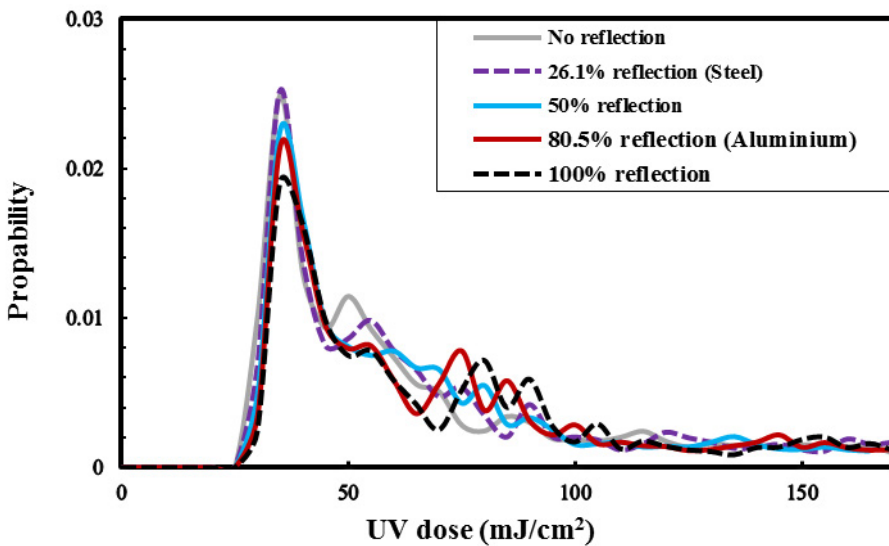


الف- ضریب گذردگی ۷۸/۵ درصد

ب- ضریب گذردگی ۸۷/۷ درصد

شکل ۷. توزیع دوز فرابنفش داده‌های تجربی و عددی ولز و نتایج عددی کنونی

Fig. 7. UV dose distribution of Wols's experimental and numerical data and current numerical results

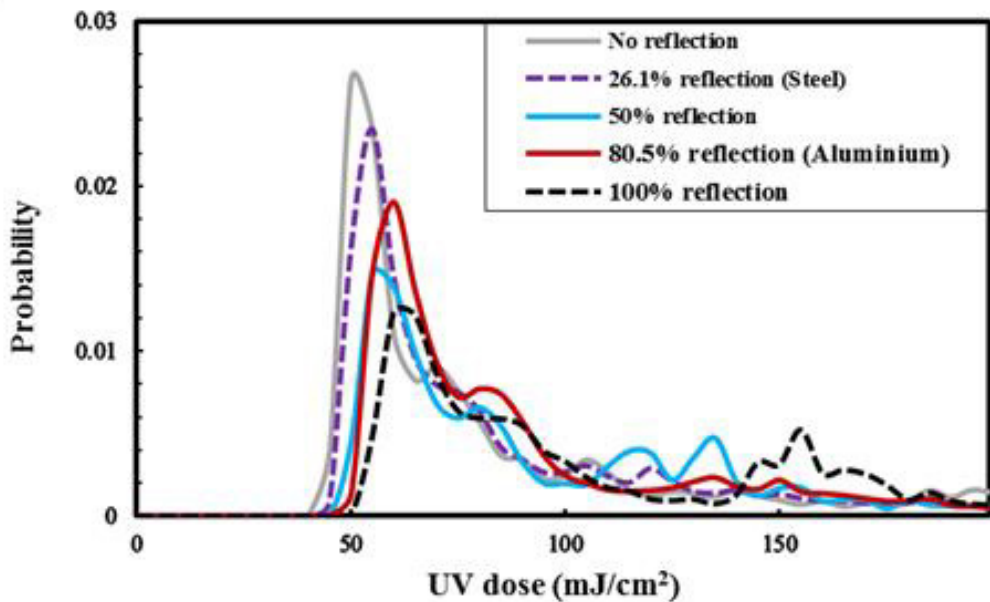


شکل ۸. توزیع دوز فرابنفش در ضریب گذردگی ۷۸/۵ درصد با مقادیر صفر تا صد درصد بازتاب دیواره

Fig. 8. UV dose distribution under 78.5 percent UVT with values of zero to 100 percent wall reflection

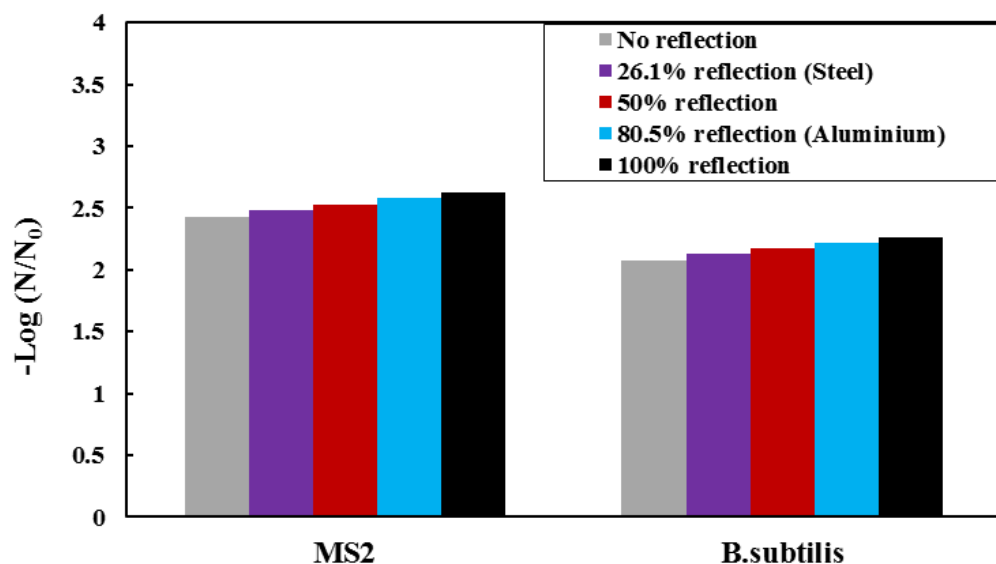
بیشتر جریان، در مدل‌های عددی است. در هر دو ضریب گذردگی، قله منحنی توزیع دوز در مدل عددی ولز بلندتر از داده‌های تجربی است، در حالی که در منحنی مربوط به شبیه‌سازی کنونی به قله منحنی در اندازه‌گیری تجربی نزدیک است. کمینه دوز دریافتی محاسبه شده در مدل عددی ولز بیش از این کمینه در اندازه‌گیری‌های تجربی است و در مدل‌های عددی حاضر، میزان کمینه دوز بیشتر شده است.

حاضر، توانسته است در محاسبات دوز بالا، به نتایج تجربی نزدیک‌تر گردد که توانایی پیش‌بینی نواحی چرخشی را در مدل کا-امگا اس. اس.تی، نشان می‌دهد. نکته دیگر در بازه دوز پایین در منحنی‌های توزیع دوز مدل‌های عددی کنونی و مدل عددی ولز، باریک‌تر بودن منحنی‌ها نسبت به منحنی داده‌های تجربی است و دلیل این موضوع پیش‌بینی اختلاط



شکل ۹. توزیع دوز فرابنفش در ضریب گذردگی ۸۷/۷ درصد با مقادیر صفر تا صد درصد بازتاب دیواره

Fig. 9. UV dose distribution under 87.7 percent UVT with values of zero to 100 percent wall reflection

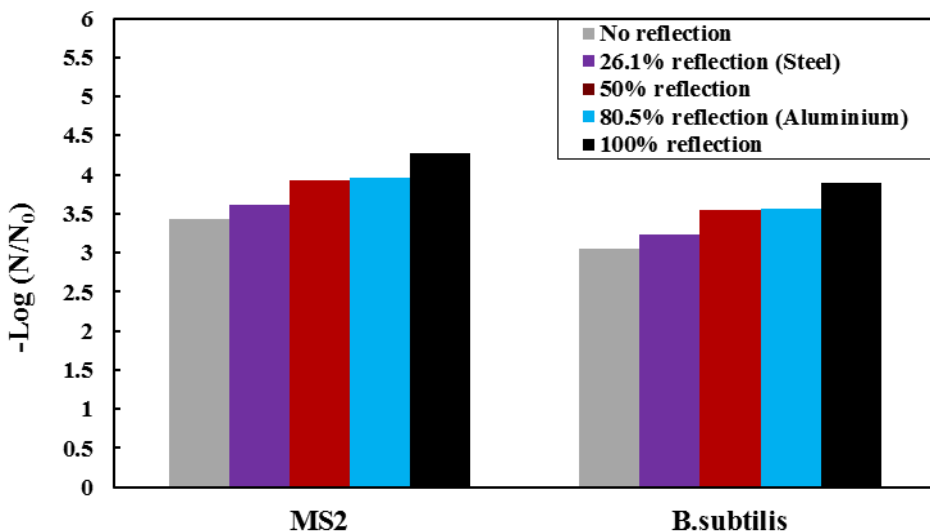


شکل ۱۰. مقادیر لگاریتم غیرفعال‌سازی در ضریب گذردگی ۷۸/۵ درصد با مقادیر صفر تا صد درصد بازتاب دیواره

Fig. 10. Log-inactivation values under 78.5 percent UVT with values of zero to 100 percent wall reflection

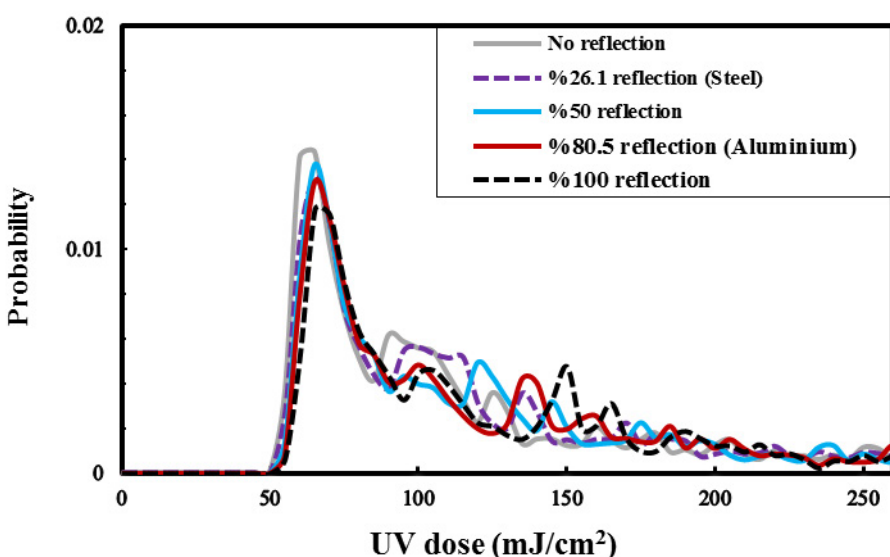
ایجاد قله ثانویه‌ای در محدوده دوز ۸۰ میلیژول بر سانتی‌مترمربع دیده می‌شود که با افزایش بازتاب در مقادیر ۸۰ و ۱۰۰ درصد، این قله نمود بیشتری می‌باشد. قله ثانویه در آزمایش شماره سه ولز در دوز حدود ۹۷ میلیژول بر سانتی‌مترمربع مشاهده می‌شود. بنابراین قله دوم ایجاد شده در آزمایش سوم ولز، اثر بازتاب دیواره‌های درونی را نمایان می‌سازد.

۴-۴- بازتاب دیواره مخزن در ضریب گذردگی متفاوت در شکل ۸، توزیع دوز فرابنفش در ضریب گذردگی ۷۸/۵ درصد، به ازای شرایط گوناگونی از بازتاب نمایش داده شده است. قله منحنی‌های توزیع دوز در همه حالات بازتاب از دیواره‌های درونی در مقدار دوز ۳۵ میلیژول بر سانتی‌مترمربع قرار دارند و تغییر محسوسی در بازه دوز پایین در منحنی توزیع دوز وجود ندارد. در حالت بازتاب ۵۰ درصد،



شکل ۱۱. مقادیر لگاریتم غیرفعال‌سازی در ضریب گذردگی ۸۷/۷ درصد با مقادیر صفر تا صد درصد بازتاب دیواره

Fig. 11. Log-inactivation values under 87.7 percent UVT with values of zero to 100 percent wall reflection

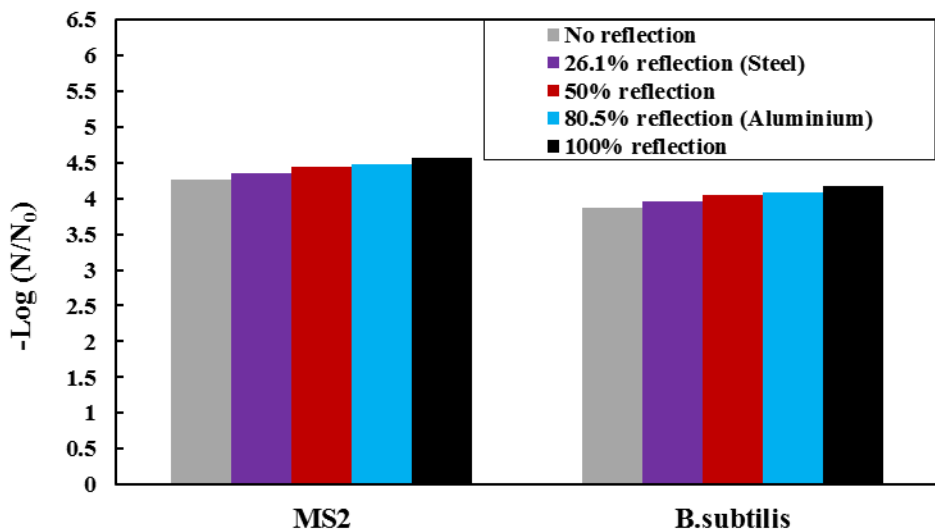


شکل ۱۲. توزیع دوز فرابنفش در دبی ۲/۵ مترمکعب بر ساعت و ضریب گذردگی ۷۸/۵ درصد با مقادیر صفر تا صد درصد بازتاب دیواره

Fig. 12. UV dose distribution under 2.5 m³/h flow rate and 78.5 percent UVT with values of zero to 100 percent wall reflection

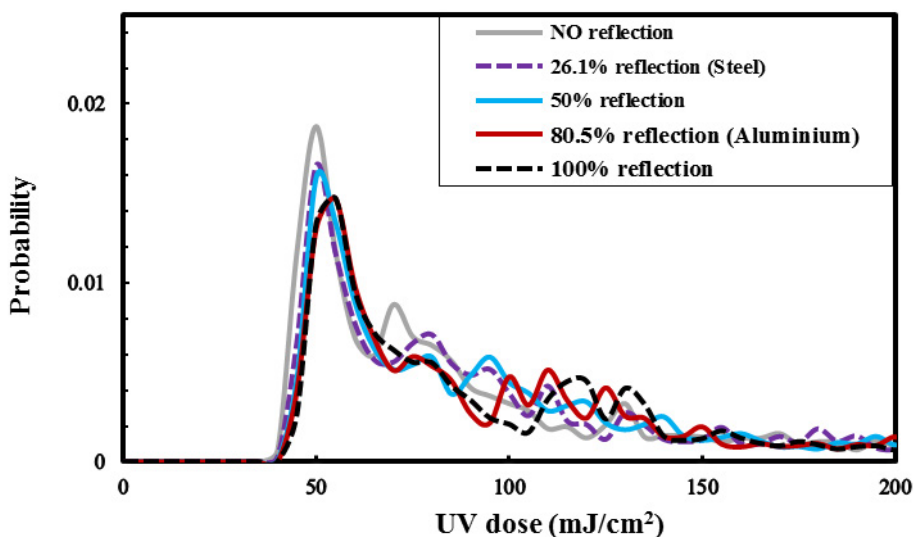
همه حالت‌های بازتاب، قله منحنی توزیع دوز، در بازه‌ای از دوز پایین واقع است. در حالت عدم وجود بازتاب از دیواره‌ها، دوز کمینه دریافتی حدود ۴۰ میلیژول بر سانتی‌مترمربع است. با افزایش مقدار بازتاب از دیواره، دوز کمینه دریافتی افزایش می‌یابد به‌طوری‌که اختلاف دوز کمینه، در حالت عدم وجود بازتاب و حالت بازتاب صدرصد، ۱۰ میلیژول بر سانتی‌مترمربع است.

در شکل ۹، توزیع دوز فرابنفش در ضریب گذردگی ۸۷/۷ درصد به ازای مقادیر متفاوت بازتاب دیواره‌های درونی، نشان داده شده است. روند توزیع دوز دریافتی ذرات در همه حالات بازتاب دیواره درونی گویای این است که اکثر ذرات مقدار دوزی در محدوده کمتر از ۱۷۰ میلیژول بر سانتی‌مترمربع و به تبع تعداد کمتری از این ذرات، دوزهای بیش از ۱۷۰ میلیژول بر سانتی‌مترمربع دریافت کرده‌اند. در



شکل ۱۳. مقادیر لگاریتم غیرفعالسازی میکرووارگانیزم‌ها در دبی $2/5$ مترمکعب بر ساعت و ضریب گذردگی $78/5$ درصد با مقادیر صفر تا صد درصد بازتاب دیواره

Fig. 13. Log-inactivation values under $2.5 \text{ m}^3/\text{h}$ flow rate and 78.5 percent UVT with values of zero to 100 percent wall reflection



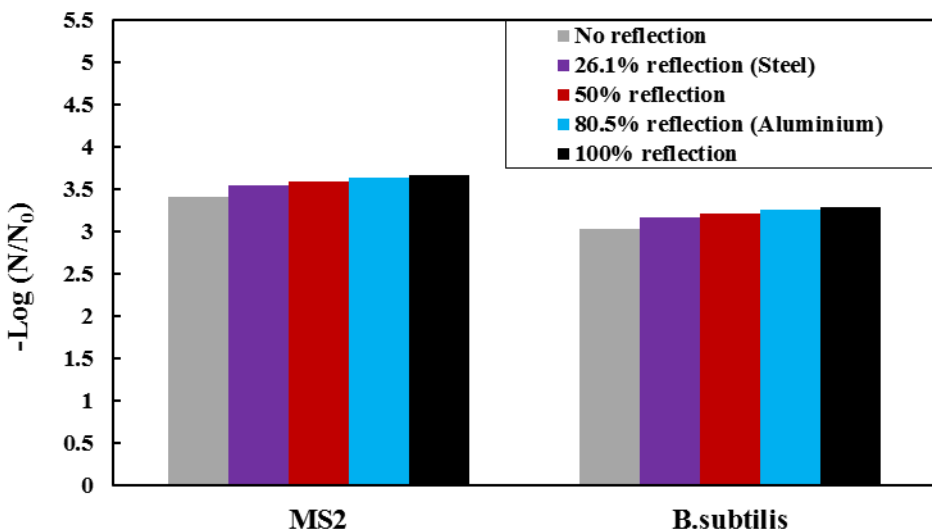
شکل ۱۴. توزیع دوز فرابنفش در توان UVC کلی مخزن با 46.9 وات و ضریب گذردگی $78/5$ درصد با مقادیر صفر تا صد درصد بازتاب دیواره

Fig. 14. UV dose distribution in the total UVC power of the reactor with 46.9 watts and a of 78.5 percent with zero to 100 percent wall reflection values

دیده می‌شود که در ضریب گذردگی بالاتر، محدوده دوز دریافتی ذرات در بازه دوز بیشتر واقع است که عملکرد بهتر مخزن فرابنفش را در ضریب گذردگی بالاتر نتیجه می‌دهد. همچنان اثر بازتاب دیواره‌ها در بهبود عملکرد مخزن فرابنفش در ضریب گذردگی بالاتر، بیشتر به چشم می‌خورد.

مطابق شکل ۱۰، در ضریب گذردگی $78/5$ ، مقادیر لگاریتم

همچنان با افزایش بازتاب، قله منحنی توزیع دوز به سمت دوزهای بیشتر (50 تا 65 میلیژول بر سانتیمترمربع) حرکت می‌کند. در ضریب گذردگی $87/7$ درصد، وجود قله ثانویه برای بازتاب 100 درصد در دوز 155 میلیژول بر سانتیمترمربع اتفاق افتاده است که پیش‌بینی قله دوم با داده‌های تجربی ولز، اختلاف چشمگیری دارد. با مقایسه منحنی توزیع دوز در ضریب گذردگی $87/7$ و $78/5$ درصد،



شکل ۱۵. مقادیر لگاریتم غیرفعال‌سازی میکرووارگانیزم‌ها در توان UVC کلی مخزن با ۴۶/۹ وات و ضریب گذردهی ۷۸/۵ درصد با مقادیر صفر تا صد درصد بازتاب دیواره

Fig. 15. Log-inactivation values in the total UVC power of the rector with 46.9 watts and a of 78.5 percent with zero to 100 percent wall reflection values

مترمکعب بر ساعت با ضریب گذردهی ۷۸/۵ درصد نشان داده شده است. مشاهده می‌شود که منحنی‌های توزیع دوز در هر یک از حالت‌های بازتاب از دیواره‌ها، اختلاف چندانی با یکدیگر ندارند. در همه حالت‌های بازتاب، بازه دوز کمینه دریافتی حدود ۵۰ تا ۵۵ میلی‌ژول بر سانتی‌مترمربع و قله هر منحنی در بازه ۶۵ تا ۷۰ میلی‌ژول بر سانتی‌مترمربع قرار دارد. بنابراین نقش بازتاب دیواره‌ها در ضریب گذردهی ۷۸/۵، با تغییر دبی جريان چشم‌گیر نبود. در شکل ۱۳، مقادیر لگاریتم غیرفعال‌سازی میکرووارگانیزم‌ها، اثر بازتاب را بسیار انداز نشان می‌دهد به‌طوری که اختلاف این مقادیر در حالت عدم بازتاب و بازتاب صد درصد برای باکتریوفاژ MS2 حدود ۷ درصد و برای هاگ باسیلوس سابتیلیس ۷/۷ درصد است. افزایش مقادیر دوز دریافتی ذرات و در نتیجه مقادیر لگاریتم غیرفعال‌سازی در دبی ۲/۵ مترمکعب بر ساعت نسبت به دبی ۴/۹ مترمکعب بر ساعت، از افزایش زمان ماند ذرات در درون مخزن نشأت می‌گیرد.

۶-۴- نقش بازتاب با افزایش توان لامپ

در شکل ۱۴، منحنی توزیع دوز دریافتی ذرات در توان کلی ۴۶/۹ وات با ضریب گذردهی ۷۸/۵ درصد نشان داده شده است. مشاهده می‌شود که منحنی‌های توزیع دوز با رشد بسیار کوچکی از دوز دریافتی در محدوده دوز پایین در حالت‌های مختلف بازتاب

غیرفعال‌سازی هر دو نوع میکرووارگانیزم با افزایش بازتاب، افزایش می‌یابد ولی این افزایش با رشد نسبتاً اندکی مواجه است. میزان اختلاف لگاریتم غیرفعال‌سازی برای فاژ MS2 در حالت عدم بازتاب دیواره و بازتاب صد درصد دیواره حدود ۷ درصد و برای هاگ باسیلوس سابتیلیس حدود ۸ درصد است. در شکل ۱۱، لگاریتم غیرفعال‌سازی دو میکرووارگانیزم باسیلوس سابتیلیس و MS2، در ضریب گذردهی ۸۷/۷ درصد مشاهده می‌شود. مقادیر لگاریتم غیرفعال‌سازی برای هر دو نوع میکرووارگانیزم‌ها، با افزایش میزان بازتاب، بیشتر می‌شود. برای میکرووارگانیزم MS2، اختلاف مقادیر در حالت عدم وجود بازتاب دیواره‌های درونی و بازتاب صد درصد دیواره، حدود بیست درصد است و برای میکرووارگانیزم باسیلوس سابتیلیس، این اختلاف به ۲۱ درصد می‌رسد. نکته دیگری که در ضریب گذردهی ۸۷/۷ درصد دیده می‌شود، اختلاف بسیار انداز مقادیر غیرفعال‌سازی، در مقادیر بازتاب ۵۰ و ۸۰/۵ درصد است. با مقایسه دو شکل ۱۰ و ۱۱، می‌توان دریافت که بازتاب دیواره‌های درونی در ضریب گذردهی بالاتر به مقادیر لگاریتم غیرفعال‌سازی بیشتری منتهی شده است؛ همان‌طور که در صورت عدم وجود بازتاب نیز در ضریب گذردهی بالاتر، عملکرد بهتر مخزن فرابنفش مشاهده می‌شد.

۴-۵- نقش بازتاب با کاهش دبی جريان

در شکل ۱۲، منحنی توزیع دوز دریافتی ذرات در دبی ۲/۵

ozonation and electro-peroxone pretreatment of surface water on disinfection by-product formation during subsequent chlorination, *Water research*, 322 (2018) 130-332.

[2] B.E. García, G. Rivas, S. Arzate, J.S. Pérez, Wild bacteria inactivation in WWTP secondary effluents by solar photo-fenton at neutral pH in raceway pond reactors, *Catalysis Today*, 78-72 (2018) 313.

[3] S.E. Hrudey, Chlorination disinfection by-products, public health risk tradeoffs and me, *Water research*, (8)43 2092-2057 (2009).

[4] L. Bach, E.R. Garbelini, S. Stets, P. Peralta-Zamora, A. Emmel, Experimental design as a tool for studying trihalomethanes formation parameters during water chlorination, *Microchemical Journal*, 258-252 (2015) 123.

[5] M. Polo-López, M. Castro-Alférez, I. Oller, P. Fernández-Ibáñez, Assessment of solar photo-Fenton, photocatalysis, and H₂O₂ for removal of phytopathogen fungi spores in synthetic and real effluents of urban wastewater, *Chemical Engineering Journal*, 130-122 (2014) 257.

[6] A. Nocker, M. Shah, B. Dannenmann, K. Schulze-Osthoff, J. Wingender, A.J. Probst, Assessment of UV-C-induced water disinfection by differential PCR-based quantification of bacterial DNA damage, *Journal of microbiological methods*, 95-89 (2018) 149.

[7] X. Zhou, Z. Li, J. Lan, Y. Yan, N. Zhu, Kinetics of inactivation and photoreactivation of Escherichia coli using ultrasound-enhanced UV-C light-emitting diodes disinfection, *Ultrasonics sonochemistry*, 477-471 (2017) 35.

[8] J.R. Bolton, C.A. Cotton, The ultraviolet disinfection handbook, American Water Works Association, 2011.

[9] B. Wols, W. Uijttewaal, J. Hofman, L. Rietveld, J. Van Dijk, The weaknesses of ak-ε model compared to a large-eddy simulation for the prediction of UV dose distributions and disinfection, *Chemical Engineering Journal*, (2)162 536-528 (2010).

[10] D. Liu, C. Wu, K. Linden, J. Ducoste, Numerical simulation of UV disinfection reactors: Evaluation of alternative turbulence models, *Applied mathematical modelling*, 1769-1753 (2007) (9)31.

دیوارهای، مواجه هستند. در همه حالت‌های بازتاب، بازه دوز کمینه دریافتی حدود ۴۰ تا ۴۵ میلی‌ژول بر سانتی‌مترمربع و قله هر منحنی در بازه ۵۰ تا ۵۵ میلی‌ژول بر سانتی‌مترمربع قرار دارد. بنابراین اثر چشم‌گیری از بازتاب دیوارهای در ضریب گذردهی ۷۸/۵، با افزایش توان لامپ دیده نشد.

مطابق شکل ۱۵، اثر بازتاب در مقادیر لگاریتم غیرفعال‌سازی میکروارگانیزم‌ها، بسیار اندازه شد به طوری که اختلاف این مقادیر در حالت عدم بازتاب و بازتاب صدرصد برای فاز MS2 حدود ۷/۹ درصد و برای هاگ باسیلوس سابتیلیس ۸/۶ درصد است. درصد اختلاف موجود حالت‌های گوناگون بازتاب نسبت به حالت عدم بازتاب در توان لامپ بالاتر در مقایسه با همین مقادیر در دبی ۲/۵ مترمکعب بر ساعت، می‌تواند گویای این مطلب باشد که می‌توان اثر بازتاب را در توان‌های بیش از مقادیر مورد سنجش در این مطالعه، پررنگ‌تر مشاهده نمود.

۵- نتیجه‌گیری

در این پژوهش به بررسی اثر مقادیر گوناگون بازتاب دیوارهای مخزن فرابنفش در بازه صفر (بدون بازتاب) تا صد (بازتاب ایده‌آل) درصد پرداخته شد. عملکرد مخزن فرابنفش، در دو ضریب گذردهی، دو دبی و دو توان لامپ متفاوت برای دو نوع میکروارگانیزم، ارزیابی شد. نتایج به دست آمده نشان داد که اثر بازتاب دیوارهای بر بهبود عملکرد مخزن فرابنفش در ضریب گذردهی بالاتر ۸۷/۷ (درصد)، پررنگ‌تر است. همچنین به طور کلی مشاهده گردید که با افزایش میزان بازتاب دیواره، روند افزایشی برای مقادیر دوز دریافتی و لگاریتم غیرفعال‌سازی میکروارگانیزم‌ها وجود دارد که در ضریب گذردهی بالاتر با رشد بیشتری مواجه است. با کاهش دبی جریان از ۴/۹ مترمکعب بر ساعت به ۲/۵ مترمکعب بر ساعت، اثر بازتاب دیوارهای در ضریب گذردهی ۷۸/۵ درصد، تغییر محسوسی را تجربه نکرد. با توجه به این که اختلاف دو توان لامپ در نظر گرفته شده به اندازه کافی بالا نیست، میزان تأثیر بازتاب بر بهبود عملکرد مخزن نتوانسته به خوبی نمایان شود، ولی در هر صورت، با افزایش توان، افزایش هر چند اندک شاخص‌های عملکردی با وجود بازتاب دیواره مشاهده شد.

مراجع

- [1] Y. Mao, D. Guo, W. Yao, X. Wang, H. Yang, Y.F. Xie, S. Komarneni, G. Yu, Y. Wang, Effects of conventional

- UV disinfection using integrated computational fluid dynamics and discrete ordinates radiation models, Proceedings of the Water Environment Federation, 273-257 (2009) (1)2009.
- [23] F. Crapulli, D. Santoro, C.N. Haas, M. Notarnicola, L. Liberti, Modeling virus transport and inactivation in a fluoropolymer tube UV photoreactor using Computational Fluid Dynamics, Chemical Engineering Journal, (2-1)161 18-9 (2010).
- [24] C. Buchner, Modelling of UV disinfection reactors by means of computational fluid dynamics [MS thesis], in, TU-Wien Atominstutut der Österreichischen Universitäten, Wien, Austria, 2006.
- [25] N.M. Hull, K.G. Linden, Synergy of MS2 disinfection by sequential exposure to tailored UV wavelengths, Water Research, (2018).
- [26] B. Wols, D. Harmsen, T. van Remmen, E. Beerendonk, C. Hofman-Caris, Design aspects of UV/H₂O₂ reactors, Chemical Engineering Science, 721-712 (2015) 137.
- [27] B. Wols, D. Harmsen, J. Wanders-Dijk, E. Beerendonk, C. Hofman-Caris, Degradation of pharmaceuticals in UV (LP)/H₂O₂ reactors simulated by means of kinetic modeling and computational fluid dynamics (CFD), Water research, 24-11 (2015) 75.
- [28] T. Sultan, Z. Ahmad, J. Cho, Optimization of lamp arrangement in a closed-conduit UV reactor based on a genetic algorithm, Water Science and Technology, (10)73 2543-2526 (2016).
- [29] J.D. Schwarzkopf, M. Sommerfeld, C.T. Crowe, Y. Tsuji, Multiphase flows with droplets and particles, CRC press, 2011.
- [30] C. Xu, X. Zhao, G. Rangaiah, Performance analysis of ultraviolet water disinfection reactors using computational fluid dynamics simulation, Chemical engineering journal, 406-398 (2013) 221.
- [31] S. Morsi, A. Alexander, An investigation of particle trajectories in two-phase flow systems, Journal of Fluid mechanics, 208-193 (1972) (2)55.
- [32] B.A. Wols, CFD in drinking water treatment, (2010).
- [33] J. Kuo, C.-l. Chen, M. Nellor, Standardized collimated beam testing protocol for water/wastewater ultraviolet
- [11] D. Liu, J. Ducoste, S. Jin, K. Linden, Evaluation of alternative fluence rate distribution models, Journal of Water Supply: Research and Technology-AQUA, (6)53 408-391 (2004).
- [12] C. Ho, Evaluation of reflection and refraction in simulations of ultraviolet disinfection using the discrete ordinates radiation model, Water Science and Technology, 2428-2421 (2009) (12)59.
- [13] J. Chen, B. Deng, C.N. Kim, Computational fluid dynamics (CFD) modeling of UV disinfection in a closed-conduit reactor, Chemical Engineering Science, (21)66 4990-4983 (2011).
- [14] M. Li, Z. Qiang, J.R. Bolton, W. Ben, Impact of reflection on the fluence rate distribution in a UV reactor with various inner walls as measured using a micro-fluorescent silica detector, Water research, (2012) (11)46 3602-3595.
- [15] W. Li, M. Li, J.R. Bolton, J. Qu, Z. Qiang, Impact of inner-wall reflection on UV reactor performance as evaluated by using computational fluid dynamics: the role of diffuse reflection, Water research, 388-382 (2017) 109.
- [16] Á. García-Gil, C. Casado, C. Pablos, J. Marugán, Novel procedure for the numerical simulation of solar water disinfection processes in flow reactors, Chemical Engineering Journal, (2018).
- [17] S. Elyasi, F. Taghipour, Simulation of UV photoreactor for water disinfection in Eulerian framework, Chemical Engineering Science, 4749-4741 (2006) (14)61.
- [18] D.C. Wilcox, Turbulence modeling for CFD, DCW industries La Canada, CA, 1998.
- [19] A. Dewan, Tackling turbulent flows in engineering, Springer Science & Business Media, 2010.
- [20] A.E. Cassano, O.M. Alfano, Reaction engineering of suspended solid heterogeneous photocatalytic reactors, Catalysis today, 197-167 (2000) (3-2)58.
- [21] H. Li, H. Osman, C. Kang, T. Ba, Numerical and experimental investigation of UV disinfection for water treatment, Applied Thermal Engineering, -280 (2017) 111 291.
- [22] C.K. Ho, S.S. Khalsa, H.B. Wright, E. Wicklein, Modeling

- environmental bulletin, 5482-5473 (2016) (12)25.
- [35] D.A. Sozzi, F. Taghipour, UV reactor performance modeling by Eulerian and Lagrangian methods, Environmental science & technology, -1609 (2006) (5)40 1615.
- disinfection, Journal of environmental engineering, 779-774 (2003) (8)129.
- [34] Y. Zhang, G. Zhang, P. Wang, Q. Wang, Optimization of microwave induced electrodeless ultraviolet disinfection reactor using computational fluid dynamics, fresenius

چگونه به این مقاله ارجاع دهیم

GH. Heidarinejad, N. Bozorgmehr, M. Safarzadeh, The Effect of Inner Walls Reflection on Microorganisms Inactivation in Water Ultraviolet Reactor using computational fluid dynamics, Amirkabir J. Mech Eng., 53(Special Issue 1) (2021) 375-392.

DOI: 10.22060/mej.2019.15916.6226



